

بررسی اثر تیمارهای مختلف سیلیس، نانوسیلیس و عناصر ضروری بر بهبود جوانه‌زنی و رشد گیاهچه‌های گندم تحت تنش شوری

ام‌البین جهانتیغ

گروه زیست‌شناسی، دانشکده علوم پایه، دانشگاه صنعتی خاتم‌الانبیاء بهبهان، خوزستان، ایران

چکیده

گندم یک محصول زراعی استراتژیک در سرتاسر جهان است. با توجه به توسعه روزافزون تنش شوری در زمین‌های زراعی بکارگیری روش‌هایی ایمن، دوستدار طبیعت و فناوری نانو در عرصه علوم زراعی دارای اهمیت ویژه‌ای است، لذا در مطالعه حاضر به بررسی تأثیر تیمارهای سیلیس، نانوسیلیس و عناصر ضروری بر تعدیل اثرات مضر تنش شوری بر روی گندم پرداخته شد. در پژوهش حاضر، تأثیر تیمارهای آب‌مقطر (شاهد)، سیلیس (۱۰۰ پی‌پی‌ام)، نانوسیلیس (۵۰۰ پی‌پی‌ام) و عناصر ضروری (۱۰۰ پی‌پی‌ام) بر عملکرد بذر گندم تحت تأثیر تنش شوری ناشی از صفر (آب‌مقطر) و ۱۰۰ میلی‌مولار کلرید سدیم در ظروف پتری‌دیش در قالب طرح کاملاً تصادفی بررسی شد. نتایج نشان داد که تنش شوری با کاهش فعالیت آلفا‌آمیلاز، افزایش میزان نشاسته و عدم تغییر میزان قندهای محلول در دسترس جنین بذر منجر به کاهش جوانه‌زنی بذر گندم شد. تیمارهای سیلیس، نانوسیلیس و عناصر ضروری موجب ارتقاء فعالیت آلفا‌آمیلاز، هیدرولیز نشاسته به قندهای محلول و در نتیجه افزایش جوانه‌زنی بذر شدند. تنش شوری باعث کاهش میزان رشد گیاهچه‌ها شد، درحالی‌که تیمارهای مختلف، رشد گیاهچه‌های تیمار شده با شوری را بهبود بخشیدند. تنش شوری با افزایش تولید آب‌اکسیژنه و کاهش فعالیت کاتالاز سبب آسیب به رنگیزه‌های فتوسنتزی، کاهش تولید کربوهیدرات‌ها، آسیب به پروتئین‌ها و پراکسیداسیون لیپیدهای غشایی شد. تیمارهای سیلیس، نانوسیلیس و عناصر ضروری بذرهای گندم تحت تأثیر شوری با افزایش میزان آنتی‌اکسیدانت‌های غیرآنزیمی (فنل‌ها، آنتوسیانین‌ها، فلاونوئیدها، کاروتنوئیدها و پرولین) و آنزیمی (کاتالاز) و افزایش ظرفیت آنتی‌اکسیدانتی کل براساس روش FRAP سبب مهار تجمع آب‌اکسیژنه و به دنبال آن افزایش میزان کلروفیل‌های a و b، قندهای محلول، پروتئین‌ها و کاهش پراکسیداسیون لیپیدهای غشاء شد. براساس کاهش میزان آب‌اکسیژنه و عدم وقوع پراکسیداسیون لیپیدهای غشاء، افزایش میزان رشد و جوانه‌زنی می‌توان نتیجه‌گیری نمود که تیمارهای به‌کاررفته سبب کاهش شدت تنش در گندم و بهبود عملکرد فیزیولوژیکی گیاه شدند و مؤثرترین تیمار نانوسیلیس بود.

واژه‌های کلیدی: آنتی‌اکسیدانت‌ها، پراکسیداسیون لیپیدهای غشاء، فرآیند جوانه‌زنی، گندم، نانوسیلیس

مقدمه

دریافت مقاله: ۱۴۰۴/۰۵/۰۲، بازنگری: ۱۴۰۴/۰۶/۲۵، پذیرش: ۱۴۰۴/۰۸/۰۷، اولین انتشار: ۱۴۰۵/۰۲/۱۲

* نویسنده مسئول، رایانامه: jahantigh@bkatu.ac.ir



حق انتشار این مستند، متعلق به انجمن فیزیولوژی گیاهی ایران است. © ۱۴۰۳

این مقاله تحت گواهی زیر منتشر شده و هر نوع استفاده غیرتجاری از آن مشروط بر استناد صحیح به مقاله و با رعایت شرایط مندرج در آدرس زیر مجاز است:

Creative Commons Attribution-NonCommercial 4.0 International license <https://creativecommons.org/licenses/by-nc/4.0/>

(Jahantigh and Hajhashemi, 2024). در حالی که سیلیسیم یک عنصر مفید برای رشد گیاه است، ذرات نانوسیلیس به دلیل اندازه کوچک‌تر و سطح بزرگ‌تر، مزایای بیشتری را ارائه می‌دهد، زیرا نانوسیلیس امکان نفوذ بهتر به بافت‌های گیاهی، افزایش حلالیت و واکنش‌پذیری بالاتر را فراهم می‌کند که منجر به انتقال مؤثرتر سیلیس و مزایای بالقوه بیشتر در مقایسه با ذرات سیلیس می‌شود (Rastogi et al., 2019). نانوسیلیس با افزایش جذب آب و کاهش هدررفت آب، حفظ تعادل اسمزی، مدیریت تنش اکسیداتیو توانایی گیاه را در مقاومت در برابر تنش خشکی و شوری بهبود می‌بخشد (Gill et al., 2024).

تنش شوری منجر به کاهش توانایی گیاه در جذب مواد معدنی ضروری شده که باعث عدم تعادل یونی و کمبود عناصر می‌شود. این مسئله می‌تواند به دلیل تداخل یون‌های سدیم و کلرید اضافی با جذب و انتقال سایر مواد مغذی حیاتی مانند پتاسیم، کلسیم و فسفر صورت گیرد (Balasubramaniam et al., 2023). رشد گیاهان در محیط دارای نمک بالا باعث ایجاد تنش اسمزی و سمیت یونی شده که منجر به تغییر در نفوذپذیری غشاء و تأثیر بر جذب آب و عناصر غذایی توسط ریشه‌ها می‌شود (Ran et al., 2021). تغذیه معدنی می‌تواند نقش مهمی را در کمک به گیاهان برای کاهش اثرات منفی تنش شوری ایفا نماید. گیاهان می‌توانند با ارتقاء تعادل عناصر معدنی ضروری، به ویژه پتاسیم و کلسیم، مضرات ناشی از غلظت بالای نمک را کاهش دهند. بهبود تغذیه معدنی می‌تواند منجر به افزایش تحمل گیاه به تنش شوری، و رشد و عملکرد گیاه شود (Nawaz et al., 2020). تغذیه معدنی مناسب با تأثیرگذاری بر پارامترهای مختلف فیزیولوژیکی شامل بهبود هموستازی یونی، افزایش دفاع آنتی‌اکسیدانی و بهبود روابط آبی، تحمل گیاه را در برابر تنش شوری به‌طور قابل توجهی افزایش می‌دهد (Naveed et al., 2020).

جوانه‌زنی بذر مرحله‌ای حیاتی در زندگی گیاه است و در برابر تنش‌های محیطی مانند گرما، خشکی، شوری، فلزات

شوری یکی از مهم‌ترین تنش‌های غیرزیستی است که می‌تواند با محدود کردن دسترسی به آب و ایجاد سمیت یونی به جوانه‌زنی، رشد و عملکرد گیاهان آسیب برساند (Duan et al., 2024). از مهم‌ترین عوامل ایجادکننده شوری می‌توان به هوازدگی ترکیبات شیمیایی بستر خاک (شوری اولیه)، فرسایش خاک و شیوه‌های کشاورزی مانند آبیاری، کشت‌های مکرر و کوددهی بیش از حد با مواد معدنی اشاره نمود (Duan et al., 2023; Wu et al., 2024). براساس گزارش‌ها، این چالش هر ساله حدود ۰/۳ میلیون هکتار از زمین‌های کشاورزی حاصلخیز را به زمین‌های بایر تبدیل می‌کند و از نظر بهره‌وری کشاورزی به ضررهای اقتصادی بیشتری منجر می‌شود (Omuto et al., 2024). براساس گزارش سازمان غذا و کشاورزی ملل متحد (FAO)، نزدیک به ۱/۴ میلیارد هکتار زمین (کمی بیش از ۱۰ درصد از کل مساحت زمین‌های جهان) تحت تأثیر تنش شوری قرار دارند و یک میلیارد هکتار دیگر نیز به دلیل بحران آب و هوا و سوء مدیریت انسانی در معرض خطر هستند. تنش شوری با تأثیر بر روی فرآیندهای متابولیک حیاتی و فیزیولوژی سبب کاهش رشد و عملکرد گیاهان می‌شود (Demo et al., 2025). یافتن راه‌کارهایی برای بهبود تحمل گیاهان به شوری بسیار مهم و حیاتی است و می‌توان به استفاده از ترکیبات معدنی، تنظیم‌کننده‌های رشد و میکروارگانسیم‌های غیربیماریزا، و روش‌های اصلاح ژنتیکی برای افزایش تحمل به شوری اشاره نمود (Liang et al., 2018; Kaya and Ashraf, 2024).

عناصر سیلیس جزء عناصر غیرضروری برای متابولیسم اکثر گیاهان محسوب می‌شود، اما برای رشد و نمو برخی از گیاهان زراعی مانند جو، گندم و برنج ضروری است (Hajhashemi and Kazemi, 2022). سیلیسیوم در واقع ماده‌ای مهم برای کمک به گیاهان در مقاومت در برابر تنش‌های مختلف محیطی است (Rastogi et al., 2021). این ماده نقش حیاتی در افزایش مقاومت گیاه در برابر عوامل تنش‌زای زیستی (ارگانسیم‌های زنده مانند پاتوژن‌ها و آفات) و غیرزیستی (عوامل غیرزنده مانند خشکسالی، شوری و فلزات سنگین) ایفا می‌کند

استریل حاوی ۵ میلی لیتر از محلول‌های آب مقطر (شاهد)، ۱۰۰ میلی مولار محلول کلوروسدیم، ۱۰۰ پی پی ام سیلیس، ۵۰۰ پی پی ام نانوسیلیس، ۱۰۰ پی پی ام کود معدنی، ۱۰۰ پی پی ام سیلیس + ۱۰۰ میلی مولار کلوروسدیم، ۵۰۰ پی پی ام نانوسیلیس + ۱۰۰ میلی مولار کلوروسدیم، ۱۰۰ پی پی ام کود معدنی + ۱۰۰ میلی مولار کلوروسدیم منتقل شدند. کود معدنی حاوی نیتروژن، پتاسیم، بر، مس، آهن، منگنز، مولیبدن و روی در مقادیر ۵/۴، ۷/۸، ۷/۸، ۰/۱۲، ۰/۰۲، ۰/۰۵۲، ۰/۰۷، ۰/۰۱۳ و ۰/۰۶۵ درصد وزنی/حجمی به ترتیب بود. برای هر تیمار چهار تکرار در نظر گرفته شد، از این رو چهار پتری دیش جهت کاشت ۱۰۰ بذر (در هر پتری دیش ۲۵ بذر) استفاده شد. سپس ظروف توسط پارافیلیم پوشیده شدند و در ژرminatور با دوره نوری ۱۶ ساعت روشنایی و ۸ ساعت تاریکی به مدت یک هفته قرار داده شدند. روزانه تعداد بذرهای جوانه زده شمارش شده و میانگین سرعت، درصد و شاخص جوانه زنی با توجه به فرمول‌های زیر محاسبه شدند.

$$MGT = \Sigma (f \times i) / \Sigma f \text{ (Ellis and Roberts, 1980)}$$

$$GI = \Sigma (Gi / Ti) \text{ (Wang et al., 2004)}$$

i: روز جوانه زنی، Gi: درصد جوانه زنی در روز iام، Ti:

تعداد کل روزهای جوانه زنی، f: تعداد بذر جوانه زده جدید در هر روز. در گیاهچه هفت روزه طول بلندترین ریشه و اولین برگ در هنگام برداشت با استفاده از خط کش میلی متری اندازه گیری شدند.

سنجش میزان آنزیم آلفا آمیلاز بذر: یک گرم بذر با ۱۰

میلی لیتر آب مقطر سرد توسط هاون چینی بر روی یخ ساییده شد. عصاره حاصل با استفاده از سانتریفیوژ یخچال دار به مدت ۳۰ دقیقه با سرعت ۱۰۰۰۰ دور در دقیقه در دمای ۴ درجه سانتی گراد سانتریفیوژ شد. ابتدا در دمای بالا آنزیم بتا آمیلاز غیرفعال شد. بدین منظور ۵ میلی لیتر عصاره با ۳ میلی لیتر کلرید کلسیم ۳ میلی مولار به مدت ۵ دقیقه در دمای ۷۰ درجه سانتی گراد قرار گرفت. سپس ۲ میلی لیتر بافر سیترات ۰/۱ میلی مولار (pH ۵) حاوی ۲ درصد نشاسته با ۷۰۰ میکرو لیتر عصاره آنزیم داغ مخلوط شد و در دمای ۳۰ درجه سانتی گراد به مدت ۵ دقیقه قرار گرفت. معرف رنگی با حل کردن ۱ گرم

سنگین بسیار آسیب پذیر است. انواع تنش های زیستی و غیرزیستی با مهار مرحله جوانه زنی بر توانایی استقرار گیاه تأثیر و در نهایت بر عملکرد محصول و سلامت اکوسیستم تأثیر منفی می گذارند (Debouza et al., 2021). غلظت بالای نمک در خاک یا آب می تواند با ایجاد اختلال در جذب آب و ایجاد تنش اسمزی بر جوانه زنی و رشد گیاهچه تأثیر منفی بگذارد (Tarchoun et al., 2022; Arif et al., 2020). گندم در واقع یک گیاه استراتژیک و منبع غذایی حیاتی برای کره زمین است. این محصول اساسی در سراسر جهان کشت می شود و درصد قابل توجهی از کالری جهان را تأمین می کند. اهمیت جهانی آن با کشت گسترده، تولید بالا و نقش مهم آن در تجارت بین المللی و امنیت غذایی برجسته شده است (Li et al., 2020). تنش شوری به دلیل اثرات نامطلوب جوانه زنی، رشد و بهره وری گیاه، تولید محصول گندم را به طور قابل توجهی سالیانه کاهش می دهد. افزایش روزافزون مسئله جهانی شوری خاک و آب، همراه با آبیاری نامناسب و تغییرات اقلیمی، این چالش ها را تشدید می کند (Traye et al., 2025). از این رو یافتن راهکارهای سریع، ارزان و با قابلیت اجرا وسیع در اولویت پژوهشی محققان فعال در عرصه زیست شناسی و کشاورزی قرار گرفته است. بر این اساس در مطالعه حاضر به بررسی تأثیر کودهای معدنی، سیلیس و نانوسیلیس بر افزایش قدرت جوانه زنی گیاه گندم در شرایط تنش شوری پرداخته شده است. در این راستا پاسخ های جوانه زنی و پارمترهای فیزیولوژیکی به انواع تیمارها مورد بررسی قرار گرفته اند.

مواد و روش ها

کشت بذر گندم در پتری دیش تحت تنش شوری و تیمارهای سیلیس، نانوسیلیس و عناصر معدنی: بذر گندم رقم چمران از جهاد کشاورزی شهرستان بهبهان تهیه شد. ابتدا بذرهای سالم جدا شده و قبل از کشت با محلول اتانول ۷۰ درصد به مدت یک دقیقه و محلول هیپوکلریت سدیم ۲۰ درصد به مدت ۱۰ دقیقه ضد عفونی و سپس سه بار توسط آب مقطر شستشو داده شدند. بذرهای استریل شده به پتری های

۳ و ۵- دی نیتروسالیسیلیک اسید در ۲۰ میلی‌لیتر هیدروکسید سدیم ۲ مولار، افزودن ۳۰ گرم سدیم-پتاسیم تارتارات و رساندن حجم محلول به ۱۰۰ میلی‌لیتر با آب مقطر تهیه گردید. سپس ۲ میلی‌لیتر معرف به مخلوط واکنش افزوده شد و در دمای ۵۰ درجه سانتی‌گراد به مدت ۵ دقیقه قرار گرفت. حجم نهایی محلول به آب مقطر به ۱۰ میلی‌لیتر رسانده شد و جذب نمونه در طول موج ۵۴۰ نانومتر خوانده شد (Kishorekumar et al., 2007).

سنجش میزان کربوهیدرات‌های محلول در آب و نشاسته بذری: حدود ۰/۲ گرم از نمونه خشک بذر جوانه‌زده پودر شده را وزن کرده و در لوله آزمایش ریخته شد. پنج برابر میزان نمونه اتانول ۸۰ درصد به آن اضافه و در دمای ۸۰ درجه سانتی‌گراد به مدت ۵ دقیقه حرارت داده شد. لوله‌ها را به مدت ۱۰ دقیقه و با سرعت ۷۰۰۰ دور در دقیقه سانتریفیوژ شدند و روشناورها جمع‌آوری شد. عمل فوق سه بار تکرار شد. از تفاله‌های باقیمانده در ته لوله به منظور استخراج نشاسته استفاده شد. نمونه به مدت ۲۴ ساعت درون آن قرار گرفت تا اتانول تبخیر شود. سپس ۲۰ میلی‌لیتر آب مقطر گرم به لوله آزمایش اضافه شده و رتکس شد تا قند درون آب کاملاً حل شود. برای اندازه‌گیری کربوهیدرات‌های محلول، از روش فنل- اسید سولفوریک استفاده شد. به این صورت که ۲ میلی‌لیتر از عصاره گیاهی استخراج شده را با ۵۰ میکرولیتر فنل ۸۰٪ وزنی (حل شده در آب مقطر) مخلوط کرده و سپس ۵ میلی‌لیتر اسید سولفوریک غلیظ به آن اضافه شد. این مخلوط به مدت ۱۰ دقیقه در محیط نگهداری شده و پس از آن به مدت ۱۰-۲۰ دقیقه در حمام آب گرم ۳۰-۲۵ درجه سانتی‌گراد قرار داده شد و سپس جذب محلول در ۴۹۰ خوانده شد و با کمک منحنی استاندارد مربوطه میزان کربوهیدرات‌های محلول محاسبه شد (Dubois et al., 1956).

به منظور اندازه‌گیری نشاسته، به تفاله کربوهیدرات‌ها ۵ میلی‌لیتر آب مقطر اضافه شد. سپس ۵ میلی‌لیتر اسید پرکلریک ۵۲٪ به نمونه اضافه شد. نمونه به مدت ۲۰ دقیقه در دمای ۴ درجه سانتی‌گراد نگهداری شد و سپس توسط کیف شیشه‌ای و

کاغذ صافی صاف شد. تفاله سه مرتبه دیگر و هر بار با ۳/۵ میلی‌لیتر اسید پرکلریک شسته شد. روشناورها جمع‌آوری شد و حجم نهایی آن به ۲۰ میلی‌لیتر رسید. میزان نشاسته نمونه با استفاده از روش فنل- سولفوریک اسید اندازه‌گیری شد (Dubois et al., 1956; Schlegel, 1956).

سنجش میزان رنگیزه‌های فتوستتزی: نیم گرم برگ تازه گیاهچه هفت روزه با ۱۰ میلی‌لیتر استن ۸۰٪ در هاون چینی سائیده شد. عصاره حاصل به مدت ۱۰ دقیقه با سرعت ۶۰۰۰ دور در دقیقه سانتریفیوژ شد. سپس جذب محلول رویی جهت تعیین رنگیزه‌های فتوستتزی توسط اسپکتروفوتومتر در طول موج‌های ۶۶۳، ۶۴۵ و ۴۷۰ نانومتر خوانده گردید. طبق فرمول‌های زیر میزان کلروفیل a، کلروفیل b و کاروتنوئیدها محاسبه شد.

$$\begin{aligned} \text{Chl a} &= 12/25(A663) - 2/79(A640) \times V/1000 \times W \\ \text{Chl b} &= 21/21(A640) - 5/1(A663) \times V/1000 \times W \\ \text{Car} &= 1000(A470) - 1/8(\text{Chl a}) \times 85/02(\text{Chl b}) / 198 \end{aligned}$$

A: میزان جذب، Chl a، کلروفیل a، Chl b، کلروفیل b، V:

حجم نهایی عصاره، W: میزان بافت گیاهی

سنجش کربوهیدرات‌های محلول: ۱۰۰ میلی‌گرم بافت خشک برگ به لوله آزمایش شیشه‌ای منتقل و ۳ میلی‌لیتر آب مقطر به آن افزوده شد. نمونه به مدت ۱۵ دقیقه در دمای ۱۰۰ درجه سانتی‌گراد قرار گرفت. پس از سرد شدن، نمونه با سرعت ۶۰۰۰ دور در دقیقه به مدت ۱۰ دقیقه سانتریفیوژ شده و روشناور جمع‌آوری گردید. این مرحله سه بار صورت گرفت و محلول‌های روشناور جمع‌آوری شد. حجم نهایی محلول روشناور به وسیله آب مقطر به ۱۰ میلی‌لیتر رسانده شد. میزان کربوهیدرات‌های محلول نمونه براساس روش فنل- سولفوریک اسید اندازه‌گیری شد (Dubois et al., 1956).

سنجش پروتئین‌های محلول: یک گرم بافت تر برگ با استفاده از ۳ میلی‌لیتر بافر فسفات پتاسیم ۱۰۰ میلی‌مولار (۶/۸ pH) در هاون سرد و بر روی حمام یخ سائیده شد. نمونه با سرعت ۱۳۰۰۰ دور در دقیقه به مدت ۱۵ دقیقه در دمای ۴ درجه سانتی‌گراد سانتریفیوژ شد. اندازه‌گیری مقدار پروتئین‌های عصاره براساس روش برادفورد انجام شد (Bradford, 1976).

دمای ۴ درجه سانتی‌گراد سانتریفیوژ شد. نیم میلی‌لیتر عصاره با نیم میلی‌لیتر بافر فسفات پتاسیم ۱۰ میلی‌مولار (pH ۷) و ۱ میلی‌لیتر یدید پتاسیم ۱ مولار مخلوط گردید. میزان جذب نمونه در طول موج ۳۹۰ نانومتر خوانده شد. با استفاده از ضریب خاموشی $280 \text{ mM}^{-1} \text{ Cm}^{-1}$ مقدار پراکسید هیدروژن در هر نمونه محاسبه شد (Velikova et al., 2000).

سنجش میزان پرولین: نیم گرم از بافت تر برگ در ۱۰ میلی‌لیتر سولفوسالیسیلیک اسید ۳٪ ساییده و با سرعت ۱۰۰۰۰ دور در دقیقه به مدت ۱۰ دقیقه سانتریفیوژ شد. ۲ میلی‌لیتر روشناور با ۲ میلی‌لیتر اسید استیک گلاسیال و ۲ میلی‌لیتر معرف نین‌هیدرین مخلوط شد. نمونه به مدت ۶۰ دقیقه در داخل بن‌ماری آب جوش حرارت داده شد و سپس سریعاً به ظرف محتوی یخ منتقل شد. سپس ۴ میلی‌لیتر تولوئن به نمونه اضافه شد و به مدت ۳۰ ثانیه ورتکس گردید. جذب بخش رویی محلول در طول موج ۵۲۰ نانومتر خوانده شد. منحنی استاندارد پرولین خالص در محدوده غلظت صفر تا ۱۰۰ میکرومولار رسم شد (Bates et al., 1973).

سنجش میزان آنتوسیانین: یک گرم بافت تر برگ توسط ۱۰ میلی‌لیتر متانول اسیدی (متانول و اسید کلریدریک به نسبت ۹۹ به ۱ میلی‌لیتر) ساییده شد. نمونه به مدت ۲۴ ساعت در تاریکی قرار داده و سپس با سرعت ۶۰۰۰ دور در دقیقه به مدت ۱۰ دقیقه سانتریفیوژ شد. به عصاره حاصل ۱۰۰ میکرولیتر کلروفرم جهت حذف کلروفیل اضافه شد. جذب نمونه در طول موج ۵۵۰ نانومتر خوانده و با استفاده از ضریب خاموشی $33000 \text{ M}^{-1} \text{ Cm}^{-1}$ محاسبه شد (Wagner, 1979).

سنجش میزان فنل‌ها: ۱۰۰ میلی‌گرم از بافت تر برگ توسط ۵ میلی‌لیتر اتانول ۹۵ درصد ساییده و به مدت ۲۴ ساعت در تاریکی نگهداری شد. سپس نمونه با سرعت ۱۰۰۰۰ دور در دقیقه به مدت ۱۰ دقیقه سانتریفیوژ شد. یک میلی‌لیتر از عصاره با ۱/۵ میلی‌لیتر اتانول ۹۵٪، ۵ میلی‌لیتر آب مقطر و ۰/۵ میلی‌لیتر معرف فولین ۵۰٪ ترکیب گردید. نمونه به مدت یک ساعت در تاریکی نگهداری شد و جذب آن در طول موج ۷۲۵ نانومتر خوانده شد. منحنی استاندارد اسید گالیک در محدوده

سنجش فعالیت آنزیم کاتالاز: عصاره پروتئینی به‌منظور اندازه‌گیری فعالیت آنزیم کاتالاز استفاده شد. مخلوط واکنش حاوی بافر فسفات پتاسیم ۵۰ میلی‌مولار (pH ۶/۸)، پراکسید هیدروژن ۱۵ میلی‌مولار و ۱۰۰ میکرولیتر عصاره پروتئینی در حجم نهایی ۳ میلی‌لیتر بود. کاهش میزان جذب در ۲۴۰ نانومتر به مدت سه دقیقه اندازه‌گیری شده و میزان فعالیت آنزیم با استفاده از ضریب خاموشی $0.336 \text{ mM}^{-1} \text{ cm}^{-1}$ محاسبه گردید (Aebi, 1984).

سنجش ظرفیت آنتی‌اکسیدانت کل: برای اندازه‌گیری ظرفیت آنتی‌اکسیدانت کل به روش FRAP (ferric reducing ability of plasma)، مخلوط واکنش حاوی ۱/۵ میلی‌لیتر بافر استات ۳۰۰ میلی‌مولار (pH ۳/۶)، تری‌پریدیدل تریازین ۱۰ میلی‌مولار، کلرید آهن ۲۰ میلی‌مولار و ۵۰ میکرولیتر عصاره پروتئینی تهیه شد. میزان جذب نمونه در طول موج ۵۹۳ نانومتر خوانده شد و با استفاده از منحنی استاندارد حاصل از اسید آسکوربیک خالص در محدوده غلظت صفر تا ۱۰۰ میکروگرم در میلی‌لیتر محاسبه شد (Szollosi and Varga, 2002).

سنجش میزان پراکسیداسیون لیپیدهای غشاء: ابتدا ۰/۲ گرم از بافت تر برگ را با ۵ میلی‌لیتر تری کلرواستیک اسید یک درصد سائیده و با سرعت ۶۰۰۰ دور در دقیقه به مدت ۱۵ دقیقه سانتریفیوژ شد. یک میلی‌لیتر روشناور با ۴ میلی‌لیتر محلول تری کلرواستیک اسید ۲۰ درصد حاوی نیم درصد تیوباریوتوریک اسید مخلوط شد. نمونه به مدت ۳۰ دقیقه در حمام آب گرم حرارت داده شد و بلافاصله بر روی یخ منتقل شد. سپس نمونه با سرعت ۶۰۰۰ دور در دقیقه به مدت ۵ دقیقه سانتریفیوژ شد. جذب نمونه در طول موج ۵۳۲ نانومتر خوانده شد و جذب سایر رنگیزه‌های غیراختصاصی در ۶۰۰ نانومتر خوانده و از میزان جذب در ۵۳۲ نانومتر کسر شد. از ضریب خاموشی $155 \text{ mM}^{-1} \text{ Cm}^{-1}$ برای محاسبه مالون دی‌آلدئید استفاده شد (Heath and Packer, 1968).

سنجش میزان پراکسید هیدروژن: نیم گرم بافت تر برگ با ۵ میلی‌لیتر تری کلرواستیک اسید ۰/۱ درصد در حمام یخ سائیده و با سرعت ۱۰۰۰۰ دور در دقیقه به مدت ۱۰ دقیقه در

غلظت صفر تا ۱۰۰ میکروگرم در میلی‌لیتر برای محاسبه فنل استفاده شد (Singleton and Rossi, 1965).

سنجش میزان فلاونوئیدها: ابتدا ۰/۲ گرم بافت تازه برگ را با ۲ میلی‌لیتر متانول ساییده و با سرعت ۶۰۰۰ دور در دقیقه به مدت ۱۰ دقیقه سانتریفیوژ شد. نیم میلی‌لیتر عصاره با ۱/۵ میلی‌لیتر متانول ۸۰ درصد، ۰/۱ میلی‌لیتر استات پتاسیم یک مولار، ۰/۱ میلی‌لیتر آلومینیوم کلرید (۱۰ درصد متانولی) و ۲/۸ میلی‌لیتر آب مقطر ترکیب شد. پس از نگهداری نمونه به مدت نیم ساعت در تاریکی، میزان جذب آن در طول موج ۴۱۵ نانومتر خوانده شد. میزان فلاونوئیدها براساس منحنی استاندارد حاصل از محلول کوئرستین متانولی محاسبه شد (Chang et al., 2002).

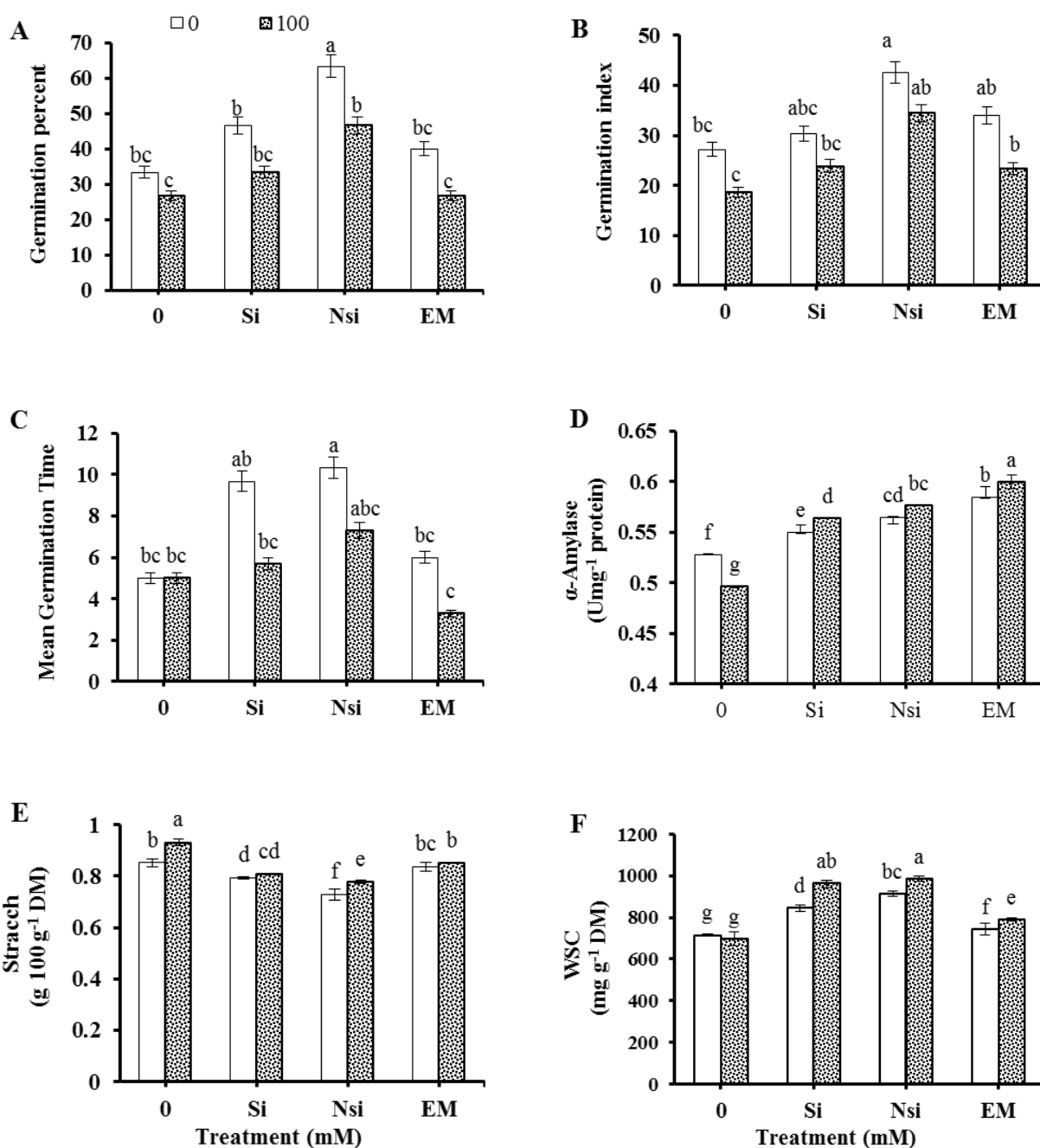
تحلیل‌های آماری: کاشت بذر در چهار پتری‌دیش جداگانه به ازای هر تیمار انجام شد. هر پتری‌دیش حاوی ۲۵ عدد بذر به‌عنوان یک تکرار برای هر تیمار در نظر گرفته شد. نتایج با استفاده از نرم‌افزار آماری SPSS (نسخه ۲۳) و آنالیز واریانس یک طرفه تجزیه و تحلیل شدند. از آزمون چند دامنه‌ای Tukey برای تعیین تفاوت معنی‌داری استفاده شد ($P \geq 0/05$). حروف بالای هر ستون در شکل‌ها، نتایج آنالیز آماری را نشان می‌دهند و نوارهای خطا نشان‌دهنده انحراف معیار هستند.

نتایج

نتایج مطالعه حاضر نشان داد که درصد جوانه‌زنی و شاخص جوانه‌زنی بذر گندم تحت تأثیر تنش شوری کاهش یافت، درحالی‌که تیمارهای سیلیس، نانوسیلیس و کود عناصر ضروری با یا بدون تنش شوری سبب افزایش معنی‌داری در آنها شدند (شکل B و A). بیشترین افزایش درصد جوانه‌زنی و شاخص جوانه‌زنی بذر گندم در پاسخ به تیمار نانوسیلیس با و بدون تنش شوری ملاحظه شد که به ترتیب ۳۰٪ و ۱۳٪؛ ۵۶٪ و ۲۷٪ بیشتر از گیاهان کنترل بود. میانگین سرعت جوانه‌زنی تغییر معنی‌داری در پاسخ به تنش شوری نشان نداد (شکل C). تیمارهای سیلیس و نانوسیلیس سبب افزایش میانگین زمان جوانه‌زنی شدند درحالی‌که تیمار عناصر ضروری

تأثیر معنی‌داری بر آن نداشت. تنش شوری توأم با تیمارهای سیلیس، نانوسیلیس و کود عناصر ضروری تغییر معنی‌داری در میانگین سرعت جوانه‌زنی ایجاد نکرد (شکل C). تنش شوری سبب کاهش معنی‌دار فعالیت آنزیم آلفا‌آمیلاز شد ولی تیمارهای سیلیس، نانوسیلیس و عناصر ضروری با یا بدون تنش شوری فعالیت آنزیم را در سطح معنی‌داری افزایش دادند (شکل D). بالاترین فعالیت آنزیم آلفا‌آمیلاز در تیمار عناصر ضروری با تنش شوری مشاهده شد و فعالیت آنزیم حدود ۸ درصد بیشتر از گیاهان کنترل بود (شکل D). میزان نشاسته در بذر تنش شوری در سطح معنی‌داری بالاتر از بذر کنترل بود (شکل E). تیمارهای سیلیس، نانوسیلیس و عناصر ضروری در سطح معنی‌داری میزان نشاسته بذر را کاهش دادند. میزان نشاسته در تنش شوری توأم با تیمارهای سیلیس، نانوسیلیس و عناصر ضروری به ترتیب ۱۳٪، ۱۷٪ و ۹٪ کمتر از تنش شوری بدون تیمار بود (شکل E). میزان کربوهیدرات‌های محلول در آب، بذر تحت تأثیر تنش شوری تقریباً با بذر کنترل یکسان بود و تفاوت معنی‌داری بین آنها مشاهده نشد (شکل F). میزان کربوهیدرات‌های محلول (WSC) تحت تأثیر تیمارهای سیلیس، نانوسیلیس و عناصر ضروری به ترتیب ۱۸٪، ۲۷٪ و ۴٪ در مقایسه با بذر کنترل افزایش یافت (شکل F). تیمارهای سیلیس، نانوسیلیس و عناصر ضروری توأم با تنش شوری بر روی میزان کربوهیدرات‌های محلول تأثیر مثبت داشتند و به ترتیب ۳۴٪، ۳۷٪ و ۱۰٪ بیشتر از بذر کنترل بود (شکل F).

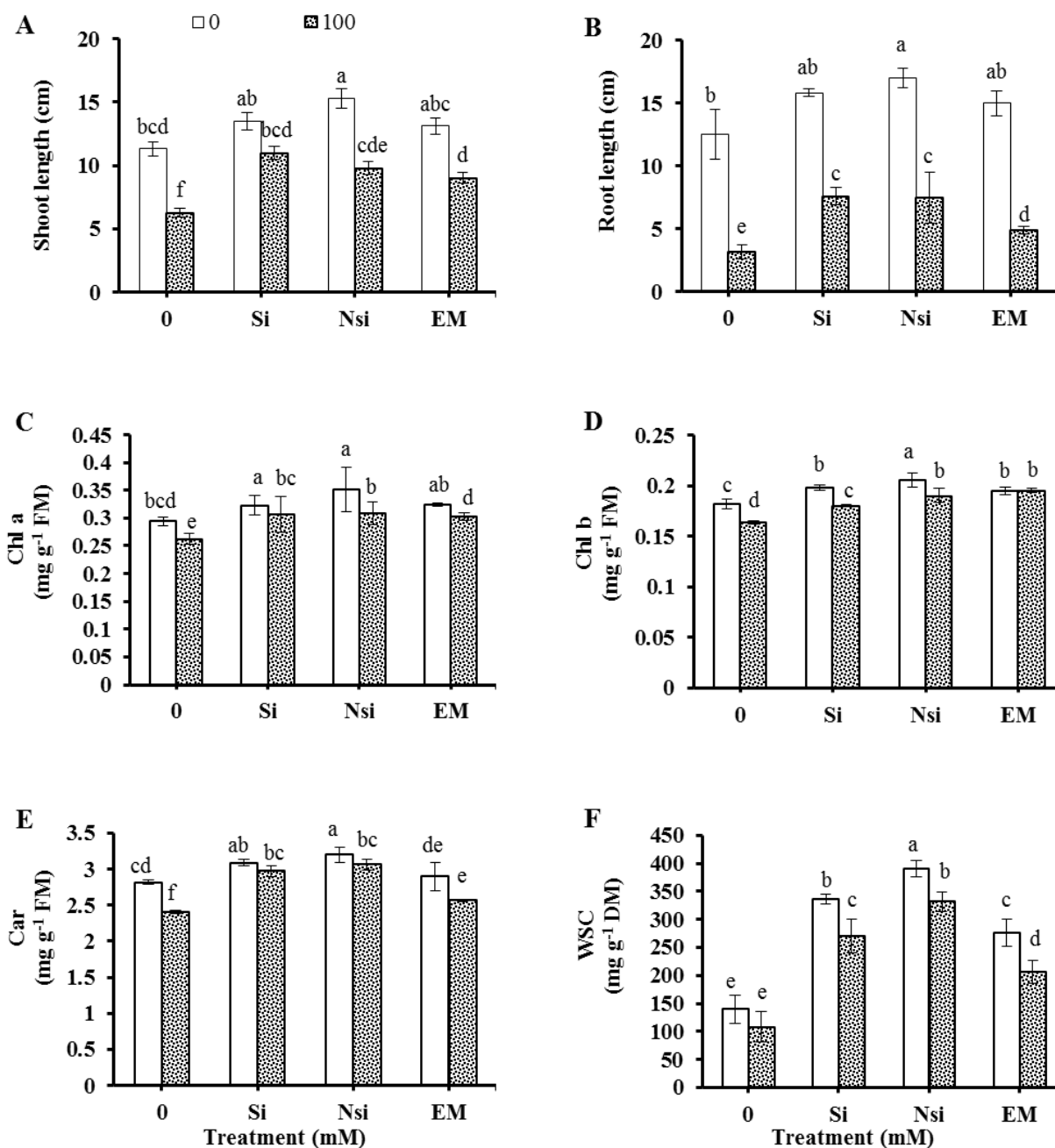
تنش شوری سبب کاهش معنی‌دار طول اولین برگ و ریشه گیاهچه‌های گندم شد (شکل B و A). تیمارهای سیلیس، نانوسیلیس و عناصر ضروری باعث افزایش معنی‌دار رشد گیاهچه‌های گندم شدند و بیشترین افزایش در تیمار نانوسیلیس ملاحظه شد. طول ریشه و برگ در تیمارهای سیلیس، نانوسیلیس و عناصر ضروری با تنش شوری به ترتیب ۱۴۰٪، ۱۴۰٪ و ۵۴٪ و ۷۵٪، ۴۶٪ و ۴۳٪ بیشتر از تنش شوری بدون تیمار بودند (شکل B و A). میزان کلروفیل‌ها و کاروتنوئیدها



شکل ۱- درصد جوانه‌زنی (A)، شاخص جوانه‌زنی (B)، میانگین زمان جوانه‌زنی (C)، فعالیت آلفا‌آمیلاز (D)، نشاسته (E) و کربوهیدرات‌های محلول در آب (F)، در بذر گندم در پاسخ به تیمارهای کنترل (صفر)، سیلیس (S)، نانوسیلیس (NSi)، عناصر ضروری (EM)، در سطوح شوری صفر (کنترل) و ۱۰۰ میلی‌مولار کلرید سدیم. ستون‌هایی با حروف کوچک یکسان در $P < 0.05$ تفاوت معنی‌داری ندارند.

و عناصر ضروری میزان کلروفیل‌های a و b و کاروتنوئیدها به ترتیب ۱۰٪، ۲۰٪، ۱۰٪، ۹٪، ۱۳٪ و ۷٪ و ۱۰٪، ۱۳٪ و ۳٪. تیمارهای بیشتر از گیاهان کنترل بود (شکل C و B و A). تیمارهای تیمارهای سیلیس، نانوسیلیس و عناصر ضروری توأم با تنش

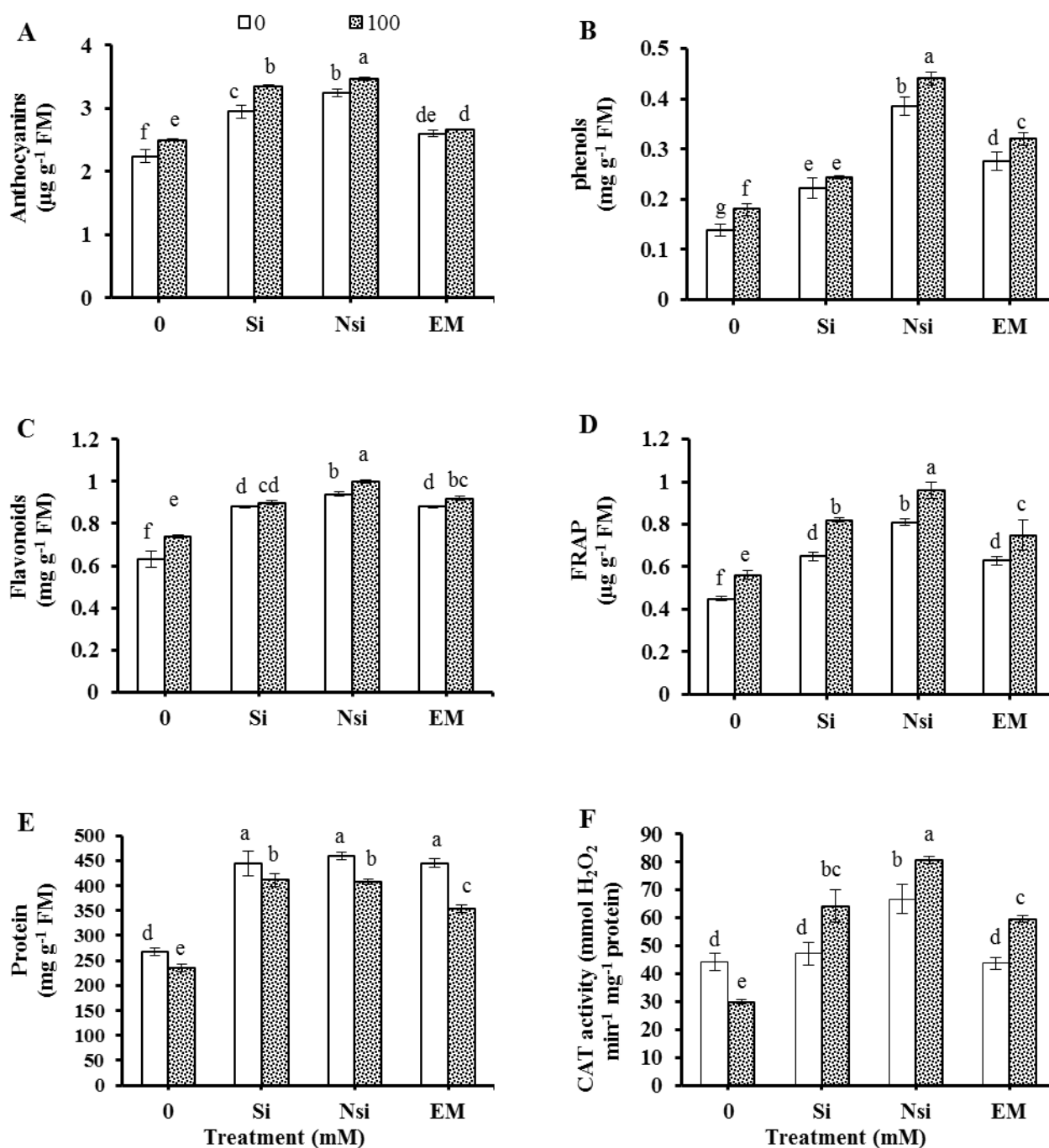
در پاسخ به تنش شوری کاهش یافتند، درحالی‌که تیمارهای سیلیس، نانوسیلیس و عناصر ضروری بدون تنش شوری سبب افزایش معنی‌دار کلروفیل‌های a و b و کاروتنوئیدها شدند (شکل C و B و A). در پاسخ به تیمارهای سیلیس، نانوسیلیس



شکل ۲- طول اولین برگ (A)، طول بلندترین ریشه (B)، کلروفیل a (C)، کلروفیل b (D)، کاروتنوئیدها (E)، و کربوهیدرات‌های محلول (F) در برگ گیاهچه‌های گندم در پاسخ به تیمارهای کنترل (صفر)، سیلیس (S)، نانوسیلیس (Nsi)، عناصر ضروری (EM) در سطوح شوری صفر (کنترل) و ۱۰۰ میلی‌مولار کلرید سدیم. ستون‌هایی با حروف کوچک یکسان در $P < 0.05$ تفاوت معنی‌داری ندارند.

(شکل ۲D). میزان کربوهیدرات‌های محلول برگ در پاسخ به تیمارهای سیلیس، نانوسیلیس و عناصر ضروری در سطح معنی‌داری افزایش یافت. بالاترین مقدار قندهای محلول در گیاهان تیمار شده با نانوسیلیس ملاحظه شد که تقریباً ۱۸۰٪ بیشتر از گیاهان کنترل بود. تیمارهای سیلیس، نانوسیلیس و

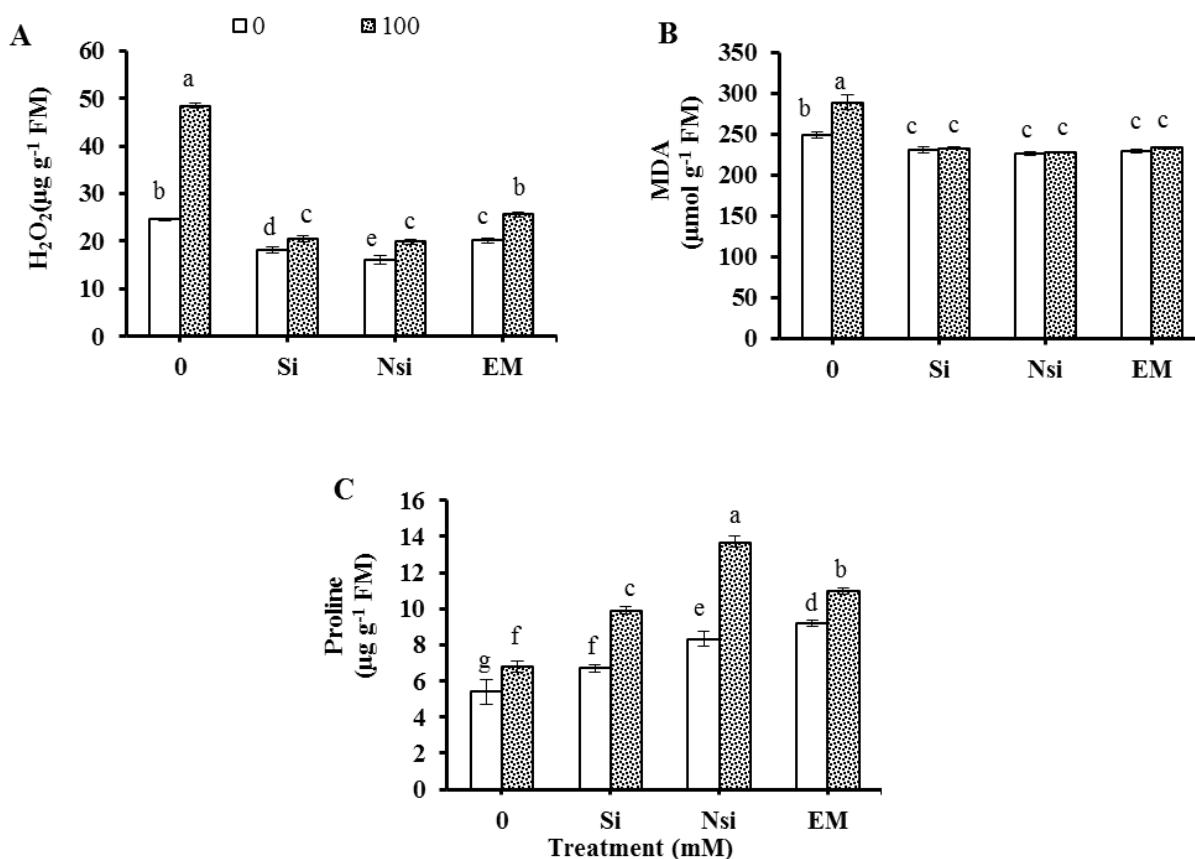
شوری نیز سبب افزایش معنی‌دار در میزان شدند، درحالی‌که بیشترین افزایش میزان کلروفیل‌های a و b و کاروتنوئیدها در پاسخ با تیمار نانوسیلیس ملاحظه شد (شکل ۲A, B, C). میزان قندهای محلول (WSC)، در برگ گیاهچه‌ها در پاسخ به تنش شوری تغییر معنی‌داری در مقایسه با گیاه کنترل نشان نداد



شکل ۳- آنتوسیانین‌ها (A)، فنل‌ها (B)، فلاونوئیدها (C)، فعالیت آنتی‌اکسیدانی کل FRAP (D)، پروتئین‌ها (E)، و فعالیت کاتالاز (F) در برگ گیاهچه‌های گندم در پاسخ به تیمارهای کنترل (صفر)، سیلیس (S)، نانو سیلیس (Nsi)، عناصر ضروری (EM) در سطوح شوری صفر (کنترل) و ۱۰۰ میلی‌مولار کلرید سدیم. ستون‌هایی با حروف کوچک یکسان در $P < 0.05$ تفاوت معنی‌داری ندارند.

میزان آنتوسیانین‌ها، فنل کل و فلاونوئیدهای برگ‌ها در پاسخ به تنش شوری به میزان ۱۲٪، ۲۹٪ و ۱۷٪، به ترتیب، بیشتر از گیاهان کنترل بود (شکل C و B، ۳A). تیمارهای سیلیس، نانو سیلیس و عناصر ضروری میزان آنتوسیانین‌ها، فنل

عناصر ضروری توأم با شوری سبب افزایش معنی‌دار میزان کربوهیدرات‌ها در مقایسه با تنش شوری بدون تیمار بود و تقریباً ۱۵۰٪، ۲۰۷٪ و ۹۱٪ بیشتر از تنش شوری بدون تیمار بود (شکل ۲D).



شکل ۴- آب اکسیژنه (A)، مالون دآلدئید (B) و پرولین (C) در برگ گیاهچه‌های گندم در پاسخ به تیمارهای کنترل (صفر)، سیلیس (S)، نانوسیلیس (Nsi)، عناصر ضروری (EM) در سطوح تنش شوری صفر (کنترل) و ۱۰۰ میلی‌مولار کلرید سدیم. ستون‌هایی با حروف کوچک یکسان در $P < 0.05$ تفاوت معنی‌داری ندارند.

(۷۱٪) به دست آمد (شکل ۳D). تنش شوری سبب کاهش معنی‌دار میزان پروتئین‌ها در برگ‌ها گیاهچه‌های گندم شد و تقریباً ۱۲٪ کمتر از گیاهان کنترل بود (شکل ۳E). تیمارهای سیلیس، نانوسیلیس و عناصر ضروری با یا بدون تنش شوری میزان پروتئین‌ها را در سطح معنی‌داری افزایش دادند. بیشترین میزان پروتئین‌ها در تیمار نانوسیلیس بدون تنش شوری و تقریباً ۷۱٪ بیشتر از گیاهان کنترل مشاهده شد (شکل ۳E). تنش شوری سبب کاهش معنی‌دار فعالیت کاتالاز شد و میزان فعالیت تقریباً ۳۲٪ کمتر از گیاهان کنترل بود (شکل ۳F). تیمار نانوسیلیس سبب افزایش معنی‌دار فعالیت کاتالاز شد، درحالی‌که تیمارهای سیلیس و عناصر میزان فعالیت آنزیم را در سطح معنی‌داری تغییر نداد. تیمارهای سیلیس، نانوسیلیس و عناصر ضروری با تنش شوری سبب افزایش معنی‌دار فعالیت

کل و فلاونوئیدها را ۳۱٪، ۴۵٪ و ۱۶٪، ۶۰٪، ۱۷۷٪ و ۹۸٪ و ۴۰٪، ۴۹٪ و ۳۹٪، به ترتیب، در مقایسه با گیاهان کنترل افزایش دادند. میزان آنتوسیانین‌ها، فنل‌ها و فلاونوئیدها در پاسخ به تیمارهای توأم با شوری در سطح معنی‌داری بیشتر از تنش شوری بدون تیمار بود. بیشترین میزان آنتوسیانین‌ها، فنل‌ها و فلاونوئیدها در پاسخ به تیمار نانوسیلیس با شوری مشاهده شد که تقریباً ۴۰٪، ۱۴۴٪ و ۳۵٪، به ترتیب، بیشتر از تنش شوری بود (شکل ۳A، B، C). فعالیت آنتی‌اکسیدانی کل گیاه براساس روش FRAP اندازه‌گیری شد. تنش شوری و تیمارهای سیلیس، نانوسیلیس و عناصر ضروری با یا بدون تنش شوری سبب افزایش معنی‌دار میزان FRAP شدند (شکل ۳D). کمترین و بیشترین میزان افزایش FRAP به ترتیب در تنش شوری بدون تیمار (۲۴٪) و نانوسیلیس با تنش شوری

(Kazemi, 2022). از عناصر ضروری برای رشد گیاهان می‌توان به نیتروژن، فسفر، کلسیم و منیزیم اشاره نمود که استفاده از آنها سبب بهبود رشد گیاهان و افزایش مقاومت آنها به انواع تنش‌ها می‌شوند (Khan et al., 2023). نتایج مطالعه حاضر نشان داد که انواع تیمارهای سیلیس، نانوسیلیس و عناصر ضروری سبب افزایش درصد جوانه‌زنی، شاخص جوانه‌زنی بذر گیاه گندم شدند که با افزایش میزان فعالیت آنزیم آلفا آمیلاز، کاهش میزان نشاسته و افزایش میزان کربوهیدرات‌های محلول در آب، بذر گندم همراه بود. آنزیم آلفا آمیلاز هیدرولیز مولکول‌های نشاسته را در بذر گیاهان کاتالیز می‌کند و آنها را به قندهای کوچک‌تر تجزیه می‌کند که نهایتاً می‌توانند به گلوکز تبدیل شوند. این فرآیند در طول جوانه‌زنی بذر بسیار مهم است، زیرا جنین از این قندها برای انرژی و رشد استفاده می‌کند (Xiong et al., 2024). تنش شوری سبب کاهش معنی‌دار میزان رشد گیاهچه‌های گندم شد، درحالی‌که تیمارهای سیلیس، نانوسیلیس و عناصر ضروری سبب کاهش اثرات مضر تنش شوری بر روی رشد گیاهچه‌های گندم شدند. افزایش دسترسی جنین به کربوهیدرات‌ها در اثر تیمارهای مختلف یکی از دلایل رشد بهتر گیاهچه‌ها بود. دلیل این امر این است که کربوهیدرات‌های حاصل از تجزیه نشاسته، قبل از اینکه گیاهچه بتواند فتوسنتز کند، به‌عنوان منبع انرژی برای آن عمل می‌کنند و باعث بهبود رشد و نمو گیاهچه می‌شوند (Lahuta et al., 2018). از بین تیمارهای مختلف، نانوسیلیس مؤثرترین تیمار بود که می‌تواند به دلیل قدرت نفوذپذیری بالاتر به دلیل کوچکی سایز مولکول‌ها بستگی داشته باشد (Mahawar et al., 2023). نتایج به دست آمده همسو با نتایج زارع و همکاران (۱۳۹۴) بر گیاه ذرت بود به‌طوری‌که تیمار نانوسیلیکون در شرایط تنش شوری مؤثرترین تیمار بوده و موجب بهبود رشد، افزایش وزن تر و خشک گیاهان تیماریافته گردید (زارع و همکاران، ۱۳۹۴).

تنش شوری سبب کاهش معنی‌دار رنگیزه‌های فتوسنتزی در گیاهچه‌های گندم شد که همراه افزایش معنی‌دار میزان آب اکسیژنه بود. تنش شوری سبب افزایش تولید رادیکال‌های آزاد

کاتالاز شد و تقریباً ۱۱۴٪، ۱۶۹٪ و ۹۸٪، به ترتیب، بیشتر از تنش شوری بدون تیمار شد (شکل ۳F).

تنش شوری میزان آب اکسیژنه را در سطح معنی‌داری افزایش داد که تقریباً ۹۷٪ بالاتر از گیاهان کنترل بود (شکل ۴A). میزان آب اکسیژنه در پاسخ به تیمارهای سیلیس، نانوسیلیس و عناصر ضروری در سطح معنی‌داری کمتر از گیاهان کنترل بود و بیشترین کاهش در تیمار نانوسیلیس ملاحظه شد. در تیمارهای سیلیس، نانوسیلیس و عناصر ضروری با شوری میزان آب اکسیژنه در سطح معنی‌داری کمتر از تنش شوری بدون تیمار بود و تقریباً ۵۷٪، ۵۹٪ و ۴۷٪، به ترتیب، کمتر از تنش شوری بدون تیمار بود. تنش شوری میزان مالون دآلدئید را ۱۵٪ افزایش داد، درحالی‌که تیمارهای مختلف با یا بدون تنش شوری میزان آن را در سطح معنی‌داری کاهش دادند (شکل ۴B). میزان مالون دآلدئید در تیمارهای سیلیس، نانوسیلیس و عناصر ضروری با شوری تقریباً با تیمارهای بدون شوری یکسان بود و تفاوت معنی‌داری بین آنها ملاحظه نشد (شکل ۴B). میزان پرولین در پاسخ به تنش شوری افزایش یافت و تقریباً ۲۰٪ بیشتر از گیاهان کنترل بود (شکل ۴C). تیمارهای سیلیس، نانوسیلیس و عناصر ضروری با یا بدون شوری میزان پرولین را در سطح معنی‌داری افزایش دادند. بیشترین میزان پرولین در تیمار نانوسیلیس با تنش شوری ملاحظه شد و تقریباً ۱۰۱٪ بیشتر از تنش شوری بدون تیمار بود (شکل ۴C).

بحث

اثرات مضر تنش شوری بر روی صنعت کشاورزی بر کسی پوشیده نیست و تاکنون راهکارهای زیادی جهت مقابله با آن پیشنهاد شده است. از ویژگی‌های مهم راهکارهای ارائه‌شده توسط علم نانو و بکارگیری نانومولکول‌های مختلف می‌توان به دسترسی راحت و آسان، عدم برجا گذاشتن آثار مخرب بر روی محیط‌زیست، صرفه اقتصادی و قابلیت اجراء اشاره نمود. عنصر سیلیس دومین عنصر از لحاظ فراوانی در پوسته زمین است و استفاده از آن به راحتی میسر است (Hajihashemi and

اکسیژن از قبیل آب اکسیژنه می‌شود که به اجزای مختلف درون سلولی از قبیل رنگیزه‌های فتوسنتزی و متعاقباً فرایند فتوسنتز آسیب می‌رساند (Khan et al., 2022). نتایج مطالعه حاضر نشان داد که انواع تیمارهای سیلیس، نانوسیلیس و عناصر ضروری با تعدیل میزان آب اکسیژنه سبب کاهش اثرات مضر تنش شوری بر میزان رنگیزه‌های فتوسنتزی شدند. مطالعات مختلف نشان داده است که سیلیس، نانوسیلیس و عناصر ضروری می‌توانند با ارتقاء سیستم آنتی‌اکسیدانتی گیاه سبب کاهش تولید رادیکال‌های آزاد اکسیژن و کاهش آسیب به سیستم فتوسنتزی گیاه در شرایط تنش شوند (Khan et al., 2021; Rastogi et al., 2019; Rastogi et al., 2022). میزان کربوهیدرات‌های محلول در آب، در گیاهچه‌های گندم به دنبال کاهش رنگیزه‌های فتوسنتزی کاهش معنی‌داری نشان دادند، درحالی‌که تیمارهای سیلیس، نانوسیلیس و عناصر ضروری سبب افزایش میزان کربوهیدرات‌ها شدند، همسو با نتایج بدست آمده در گیاهان ذرت تیمارشده با شوری و نانوسیلیس بود که موجب افزایش مقدار قندهای محلول شد (زارع و همکاران، ۱۳۹۴). کربوهیدرات‌ها، به ویژه قندهای محلول، نقش حیاتی در کمک به گیاهان برای حفظ جذب آب و تعادل اسمزی در شرایط تنش شوری دارند. هنگامی که گیاهان تنش شوری را تجربه می‌کنند، غلظت بالای نمک در خاک، دسترسی به آب را کاهش می‌دهد. برای مقابله با این امر، گیاهان ترکیبات سازگار مانند قندها را تجمع می‌دهند که پتانسیل اسمزی داخلی آنها را کاهش می‌دهد و به آنها اجازه می‌دهد تا به جذب آب از خاک ادامه دهند (Atta et al., 2023). بنابراین افزایش قندها در مطالعه حاضر نه تنها می‌تواند به بهبود سیستم فتوسنتزی در پاسخ به تیمارهای مختلف باشد، بلکه می‌تواند به بهبود وضعیت آبی سلول‌ها و کاهش اثرات مضر تنش شوری کمک نماید.

فنل‌ها، آنتوسیانین‌ها و فلاونوئیدها جزء رنگدانه‌های غیرفتوسنتزی گیاهان محسوب می‌شوند که نقش مهمی در سیستم آنتی‌اکسیدانتی گیاهان در مقابله با انواع تنش‌ها ایفا می‌کنند (Syta and Hajhashemi, 2024). تنش شوری سبب

افزایش میزان تجمع فنل‌ها، آنتوسیانین‌ها و فلاونوئیدها شد، درحالی‌که تیمارهای سیلیس، نانوسیلیس و عناصر ضروری میزان بیوسنتز و تجمع آنها را چندین برابر افزایش دادند. افزایش میزان آنها همراه با افزایش ظرفیت آنتی‌اکسیدانتی کل (FRAP) در گیاهچه‌های گندم بود. گیاهان در پاسخ به تنش‌های غیرزیستی مانند شوری، ترکیبات فنلی مختلفی از جمله آنتوسیانین‌ها و فلاونوئیدها را سنتز می‌کنند. این ترکیبات در فعالیت آنتی‌اکسیدانتی نقش دارند و به خنثی‌سازی گونه‌های فعال اکسیژن و کاهش آسیب اکسیداتیو کمک می‌کنند (Sharma et al., 2019). این نتایج مؤید کاهش ملاحظه‌شده در میزان آب اکسیژنه در راستای افزایش میزان رنگیزه‌های غیرفتوسنتزی آنتی‌اکسیدانت فنلی است. همچنین، توأم با افزایش میزان آنتی‌اکسیدانت‌های غیرآنزیمی، انواع تیمارهای سیلیس، نانوسیلیس و عناصر ضروری سبب افزایش معنی‌دار فعالیت آنزیم آنتی‌اکسیدانت کاتالاز شدند. تنش شوری سبب کاهش میزان فعالیت کاتالاز شد که با کاهش میزان پروتئین‌ها در یک راستا بود. کاتالاز آنزیمی است که هیدرولیز پراکسید هیدروژن را به آب و اکسیژن کاتالیز می‌کند. این واکنش برای محافظت سلولی در برابر آسیب اکسیداتیو ناشی از پراکسید هیدروژن، یک محصول جانبی مضر متابولیسم سلولی، بسیار مهم است (Hajhashemi et al., 2018). افزایش مشاهده‌شده در میزان آب اکسیژنه در پاسخ به تنش شوری همراه با کاهش میزان پروتئین‌ها بود که می‌تواند به دلیل آسیب پروتئین‌ها توسط رادیکال‌های آزاد اکسیژن باشد (Hasanuzzaman et al., 2020). بدین ترتیب تیمارهای مختلف با ارتقاء سیستم آنتی‌اکسیدانتی غیرآنزیمی (کاروتنوئیدها، فنل‌ها، فلاونوئیدها و آنتوسیانین‌ها) و آنزیم کاتالاز سبب کاهش بیوسنتز و تجمع آب اکسیژنه شدند و میزان آسیب وارده به پروتئین‌ها و رنگیزه‌های فتوسنتزی را کاهش دادند.

مالون دی‌آلدئید (MDA) به طور گسترده به عنوان شاخص آسیب لیپیدی، به ویژه از پراکسیداسیون لیپید، در گیاهان تحت شرایط تنش استفاده می‌شود. این ماده به عنوان نشانگری برای استرس اکسیداتیو عمل می‌کند و اغلب برای ارزیابی میزان

آسیب سلولی ناشی از عوامل استرس‌زای مختلف اندازه‌گیری می‌شود (Morales and Munne-Bosch, 2019). نتایج مطالعه حاضر حاکی از آن است که افزایش میزان آب اکسیژنه در پاسخ به تنش شوری باعث آسیب شدید به لیپیدهای غشایی شد که با افزایش میزان مالون دآلدئید همراه بود، درحالی‌که تیمارهای سیلیس، نانوسیلیس و عناصر ضروری سبب کاهش آثار مخرب تنش بر روی سیستم غشایی شدند. تنش‌های محیطی (مانند خشکسالی، شوری، دمای شدید) می‌توانند تعادل بین تولید گونه‌های فعال اکسیژن و سم‌زدایی آنها را در گیاهان مختل کنند. گونه‌های فعال اکسیژن (ROS)، مانند رادیکال‌های سوپراکسید و پراکسید هیدروژن، مولکول‌های بسیار واکنش‌پذیری هستند که می‌توانند به اجزای سلولی، از جمله لیپیدها، پروتئین‌ها و DNA آسیب برسانند. در گیاهان، بهبود سیستم‌های آنتی‌اکسیدانی در واقع با کاهش رادیکال‌های آزاد و پراکسیداسیون لیپید، به‌ویژه در شرایط تنش، مرتبط است. این یک مکانیسم کلیدی برای گیاهان جهت کاهش اثرات مضر تنش اکسیداتیو ناشی از تنش‌های محیطی است (Rao et al., 2025) که مؤید نتایج حاصل از این مطالعه در پاسخ به انواع تیمارهای سیلیس، نانوسیلیس و عناصر ضروری است. انواع ترکیبات آلی، از جمله اسید آسکوربیک (AsA)، املاح سازگار، فنولیک‌ها، کاروتنوئیدها، فلاونوئیدها، آنتوسیانین‌ها و پرولین، با هم کار می‌کنند تا تجمع رادیکال‌های آزاد ناشی از انواع تنش‌ها را خنثی کنند (Rao et al., 2025). پرولین در واقع یک مولکول کلیدی در پاسخ‌های استرس گیاه است. این مولکول در غلظت‌های بالا تحت شرایط مختلف استرس غیرزیستی و زیستی تجمع می‌یابد و به عنوان یک اسمولیت، یک جاذب ROS و یک مولکول سیگنال‌دهنده برای کمک به گیاهان در مقابله با چالش‌های محیطی عمل می‌کند (Hayat et al., 2012). در مطالعه حاضر نیز تیمارهای مختلف سبب افزایش معنی‌دار بیوستز و تجمع پرولین شدند که مؤید گزارشات صورت گرفته بر نقش آن در افزایش مقاومت گیاهان به تنش شوری است (Arif et al., 2020; Koc et al., 2024).

نتیجه‌گیری

نتایج مطالعه حاضر نشان داد که تیمارهای مختلف سیلیس، نانوسیلیس و عناصر ضروری به‌طور مؤثری سبب بهبود عملکرد فرایند جوانه‌زنی و همچنین رشد گیاهچه در شرایط تنش شوری و بدون تنش شدند. تیمارهای مذکور در مرحله جوانه‌زنی با افزایش فعالیت آنزیم کلیدی آلفا‌آمیلاز، تجزیه نشاسته و تولید کربوهیدرات‌های محلول در آب باعث بهبود فرایند جوانه‌زنی شدند. در مرحله گیاهچه نیز توانستند با افزایش تجمع آنتی‌اکسیدانت‌های غیرآنزیمی (فنل‌ها، آنتوسیانین‌ها، فلاونوئیدها، کاروتنوئیدها و پرولین) و آنزیمی (کاتالاز) میزان آب اکسیژنه را در شرایط تنش کاهش دهند. با کاهش میزان آب اکسیژنه میزان آسیب وارده به مولکول‌های آلی، لیپیدها، پروتئین‌ها و کلروفیل‌ها کاهش یافت و همزمان میزان تولید کربوهیدرات‌ها افزایش نشان داد. با افزایش میزان مولکول‌های آلی شاهد افزایش رشد گیاهچه‌ها بودیم. تیمارهای مختلف تفاوت‌هایی را از لحاظ اثربخشی بر روی پارامترهای مختلف برجای گذاشتند ولی به‌طور کلی مؤثرترین تیمار نانوسیلیس بود. تیمار نانوسیلیس در بالاترین حد سبب کاهش اثرات مضر تنش شوری بر روی گیاهچه‌های گندم شد که مطالعات گسترده‌تر در زمینه مولکولی امکان نتیجه‌گیری دقیق‌تر را فراهم می‌نماید.

منابع

- زارع، حمیدرضا، قنبرزاده، زهره، بهداد، آسیه و محسن‌زاده، ساسان. (۱۳۹۴). اثر سیلیکون و نانوسیلیکون در کاهش صدمات ناشی از تنش شوری بر گیاهچه ذرت. *علوم زیستی گیاهی*، ۷ (۲۶)، ۵۹-۷۴. <https://dor.isc.ac/dor/20.1001.1.20088264.1394.7.26.6.8>
- Abd-El-Aty, M. S., Kamara, M. M., Elgamel, W. H., Mesbah, M. I., Abomarzoka, E. A., Alwutayd, K. M., Mansour, E., Abdelmalek, I. B., Behiry, S. I., Almoshadak, A. S., & Abdelaal, K. (2024). Exogenous application of nano-silicon, potassium sulfate, or proline enhances physiological parameters, antioxidant enzyme activities, and agronomic traits of diverse rice genotypes under water deficit conditions. *Heliyon* 10(5), 1-15, e26077. doi: 10.1016/j.heliyon.2024.e26077
- Aebi, H. (1984). Catalase in vitro. *Methods in Enzymology*, 105, 121-126. [https://doi.org/10.1016/S0076-6879\(84\)05016-3](https://doi.org/10.1016/S0076-6879(84)05016-3)
- Arif, Y., Singh, P., Siddiqui, H., Bajguz, A., & Hayat, S. (2020). Salinity induced physiological and biochemical changes in plants: An omic approach towards salt stress tolerance. *Plant Physiology and Biochemistry*, 156, 64-77. <https://doi.org/10.1016/j.plaphy.2020.08.042>
- Atta, K., Mondal, S., Gorai, S., Singh, A. P., Kumari, A., Ghosh, T., Roy, A., Hembram, S., Gaikwad, D. J., & Mondal, S. (2023). Impacts of salinity stress on crop plants: Improving salt tolerance through genetic and molecular dissection. *Frontiers in Plant Science*, 14, 1241736. <https://doi.org/10.3389/fpls.2023.1241736>
- Balasubramaniam, T., Shen, G., Esmaili, N., & Zhang, H. (2023). Plants' response mechanisms to salinity stress. *Plants*, 12(12), 2253. <https://doi.org/10.3390/plants12122253>
- Bates, L., Waldren, R., & Teare, I. (1973). Rapid determination of free proline for water-stress studies. *Plant and Soil*, 39(1), 205-207. <http://dx.doi.org/10.1007/BF00018060>
- Bradford, M. M. (1976). A rapid and sensitive method for the quantitation of microgram quantities of protein utilizing the principle of protein-dye binding. *Analytical Biochemistry*, 72(1-2), 248-254. doi: 10.1016/0003-2697(76)90527-
- Chang, C. C., Yang, M. H., Wen, H. M., & Chern, J. C. (2002). Estimation of total flavonoid content in propolis by two complementary colorimetric methods. *Journal of Food and Drug Analysis*, 10(3). <https://doi.org/10.38212/2224-6614.2748>
- Debouza, N. E., Thruppoyil, S. B., Gopi, K., Zain, S., & Ksiksi, T. (2021). Plant and seed germination responses to global change, with a focus on CO₂: A review. *One Ecosystem*, 6, e74260. <https://doi.org/10.3897/oneeco.6.e74260>
- Demo, A. H., Gameda, M. K., Abdo, D. R., Guluma, T. N., & Adugna, D. B. (2025). Impact of soil salinity, sodicity, and irrigation water salinity on crop production and coping mechanism in areas of dryland farming. *Agrosystems, Geosciences and Environment*, 8(1), e70072. DOI: 10.1002/agg2.70072
- Duan, S., Al-Huqail, A. A., Alsudays, I. M., Younas, M., Aslam, A., Shahzad, A. N., Qayyum, M. F., Rizwan, M., Alhaj Hamoud, Y., & Shaghaleh, H. (2024). Effects of biochar types on seed germination, growth, chlorophyll contents, grain yield, sodium, and potassium uptake by wheat (*Triticum aestivum* L.) under salt stress. *BMC Plant Biology*, 24(1), 487. <https://doi.org/10.1186/s12870-024-05188-0>
- Dubois, M., Gilles, K. A., Hamilton, J. K., Rebers, P. T., & Smith, F. (1956). Colorimetric method for determination of sugars and related substances. *Analytical Chemistry*, 28(3), 350-356. <http://dx.doi.org/10.1021/ac60111a017>
- Gill, S., Ramzan, M., Naz, G., Ali, L., Danish, S., Ansari, M. J., & Salmen, S. H. (2024). Effect of silicon nanoparticle-based biochar on wheat growth, antioxidants and nutrients concentration under salinity stress. *Scientific Reports*, 14(1), 6380. DOI: 10.1038/s41598-024-55924-7
- Ellis, R. H., & Roberts, E. (1980). Towards a rational basis for testing seed quality. *Seed Prod*, 605-635.
- Hajihashemi, S., & Kazemi, S. (2022). The potential of foliar application of nano-chitosan-encapsulated nano-silicon donor in amelioration the adverse effect of salinity in the wheat plant. *BMC Plant Biology*, 22(1), 148. <https://doi.org/10.1186/s12870-022-03531-x>
- Hajihashemi, S., Rajabpoor, S., & Djalovic, I. (2018). Antioxidant potential in *Stevia rebaudiana* callus in response to polyethylene glycol, paclobutrazol and gibberellin treatments. *Physiology and Molecular Biology of Plants*, 24, 335-341. doi: 10.1007/s12298-017-0498-8
- Hasanuzzaman, M., Bhuyan, M. B., Parvin, K., Bhuiyan, T. F., Anee, T. I., Nahar, K., Hossen, M. S., Zulfiqar, F., Alam, M. M., & Fujita, M. (2020). Regulation of ROS metabolism in plants under environmental stress: A review of recent experimental evidence. *International Journal of Molecular Sciences*, 21(22), 8695. doi: 10.3390/ijms21228695
- Hayat, S., Hayat, Q., Alyemeni, M. N., Wani, A. S., Pichtel, J., & Ahmad, A. (2012). Role of proline under changing environments: A review. *Plant Signaling and Behavior*, 7(11), 1456-1466. doi: 10.4161/psb.21949. Epub 2012 Sep 5

- Heath, R. L., & Packer, L. (1968). Photoperoxidation in isolated chloroplasts: I. Kinetics and stoichiometry of fatty acid peroxidation. *Archives of Biochemistry and Biophysics*, 125(1), 189-198. doi: 10.1016/0003-9861(68)90654-1
- Jahantigh, O., & Hajhashemi, S. (2024). Investigating the morphological and physiological characteristics of *Narcissus tazetta* L. in response to the foliar application of nano-molecules of chitosan and silicon. *Plant Process and Function*, 13(59), 43-60. URL: <http://jispp.iut.ac.ir/article-1-1943-en.html>
- Karimi, M., Seyed hajizadeh, H., Zahedi, S. M., & Azizi, S. (2023). Amelioration of salinity stress by spraying of SiO₂-NPs in miniature garden rose (*Rosa chinensis* Jacq.). *Plant Process and Function*, 12(53), 1. URL: <http://jispp.iut.ac.ir/article-1-1740-fa.html>
- Kaya, C., & Ashraf, M. (2024). Foliar fertilization: A potential strategy for improving plant salt tolerance. *Critical Reviews in Plant Sciences*, 43(2), 94-115. DOI: 10.1080/07352689.2023.2270253
- Khan, I., Muhammad, A., Chattha, M. U., Skalicky, M., Bilal Chattha, M., Ahsin Ayub, M., Rizwan Anwar, M., Soufan, W., Hassan, M. U., & Rahman, M. A. (2022). Mitigation of salinity-induced oxidative damage, growth, and yield reduction in fine rice by sugarcane press mud application. *Frontiers in Plant Science*, 13, 840900. <https://doi.org/10.3389/fpls.2022.840900>
- Khan, M. I. R., Nazir, F., Maheshwari, C., Chopra, P., Chhillar, H., & Sreenivasulu, N. (2023). Mineral nutrients in plants under changing environments: A road to future food and nutrition security. *The Plant Genome*, 16(4), e20362. doi: 10.1002/tpg2.20362
- Kishorekumar, A., Abdul Jaleel, C., Manivannan, P., Sankar, B., Sridharan, R., & Panneerselvam, R. (2007). Comparative effects of different triazole compounds on growth, photosynthetic pigments and carbohydrate metabolism of *Solenostemon rotundifolius*. *Colloids and Surfaces B: Biointerfaces*, 60(2), 207-212. <https://doi.org/10.1016/j.colsurfb.2007.06.008>
- Lahuta, L., Zalewski, K., Glowacka, K., Nitkiewicz, B., & Amarowicz, R. (2017). Effect of methyl jasmonate on carbohydrate composition, α -amylase activity and growth of triticale (*Triticosecale wittmack*) seedlings. *Journal of Agriculture Science of Technology*, 19, 1127-1137. <https://civilica.com/doc/1826225>
- Li, J., Yang, J., Li, Y., & Ma, L. (2020). Current strategies and advances in wheat biology. *The Crop Journal*, 8(6), 879-891. <https://doi.org/10.1016/j.cj.2020.03.004>
- Liang, W., Ma, X., Wan, P., & Liu, L. (2018). Plant salt-tolerance mechanism: A review. *Biochemical and Biophysical Research Communications*, 5(1), 286-291. doi: 10.1016/j.bbrc.2017.11.043
- Mahawar, L., Ramasamy, K. P., Suhel, M., Prasad, S. M., Zivcak, M., Brestic, M., Rastogi, A., & Skalicky, M. (2023). Silicon nanoparticles: Comprehensive review on biogenic synthesis and applications in agriculture. *Environmental Research*, 116292. DOI: 10.1016/j.envres.2023.116292
- Morales, M., & Munne-Bosch, S. (2019). Malondialdehyde: Facts and artifacts. *Plant Physiology*, 180(3), 1246-1250. DOI: 10.1104/pp.19.00405
- Naveed, M., Sajid, H., Mustafa, A., Niamat, B., Ahmad, Z., Yaseen, M., Kamran, M., Rafique, M., Ahmar, S., & Chen, J. T. (2020). Alleviation of salinity-induced oxidative stress, improvement in growth, physiology and mineral nutrition of canola (*Brassica napus* L.) through calcium-fortified composted animal manure. *Sustainability*, 12(3), 846. <https://doi.org/10.3390/su12030846>. <https://doi.org/10.3390/su12030846>
- Nawaz, F., Shehzad, M. A., Majeed, S., Ahmad, K. S., Aqib, M., Usmani, M. M., & Shabbir, R. N. (2020). Role of mineral nutrition in improving drought and salinity tolerance in field crops. *Agronomic Crops*, 129-147.
- Omuto, C., Kome, G., Ramakhanna, S., Muzira, N., Ruley, J., Jayeoba, O., Raharimanana, V., Ansah, A. O., Khamis, N., & Mathafeng, K. (2024). Trend of soil salinization in Africa and implications for agro-chemical use in semi-arid croplands. *Science of the Total Environment*, 951, 175503. <https://doi.org/10.1016/j.scitotenv.2024.175503>
- Ran, X., Wang, X., Gao, X., Liang, H., Liu, B., & Huang, X. (2021). Effects of salt stress on the photosynthetic physiology and mineral ion absorption and distribution in white willow (*Salix alba* L.). *PLoS One*, 16(11), e0260086. <https://doi.org/10.1371/journal.pone.0260086>
- Rao, M. J., Duan, M., Zhou, C., Jiao, J., Cheng, P., Yang, L., Wei, W., Shen, Q., Ji, P., & Yang, Y. (2025). Antioxidant defense system in plants: Reactive oxygen species production, signaling, and scavenging during abiotic stress-induced oxidative damage. *Horticulturae*, 11(5), 477. <https://doi.org/10.3390/horticulturae11050477>
- Rastogi, A., Tripathi, D. K., Yadav, S., Chauhan, D. K., Zivcak, M., Ghorbanpour, M., El-Sheery, N. I., & Brestic, M. (2019). Application of silicon nanoparticles in agriculture. *3 Biotech*, 9, 1-11. <https://doi.org/10.1007/s13205-019-1626-7>
- Rastogi, A., Yadav, S., Hussain, S., Kataria, S., Hajhashemi, S., Kumari, P., Yang, X., & Brestic, M. (2021). Does silicon really matter for the photosynthetic machinery in plants? *Plant Physiology and Biochemistry*, 169, 40-48. <https://doi.org/10.1016/j.plaphy.2021.11.004>
- Schlegel, H. G. (1956). Die verwertung organischer sauren durch chlorella in lincht. *Planta*, 47, 510-515. DOI:10.1007/BF01935418

- Sharma, A., Shahzad, B., Rehman, A., Bhardwaj, R., Landi, M., & Zheng, B. (2019). Response of phenylpropanoid pathway and the role of polyphenols in plants under abiotic stress. *Molecules*, 24(13), 2452. <https://doi.org/10.3390/molecules24132452>
- Singleton, V. L., & Rossi, J. A. (1965). Colorimetry of total phenolics with phosphomolybdic-phosphotungstic acid reagents. *American Journal of Enology and Viticulture*, 16(3), 144-158. DOI: 10.5344/ajev.1965.16.3.144
- Sytar, O., & Hajhashemi, S. (2024). Specific Secondary metabolites of medicinal plants and their role in stress adaptation. *Plant Secondary Metabolites and Abiotic Stress*, 425-479. DOI: 10.1002/9781394186457.ch15
- Szollosi, R., & Varga, I. S. (2002). Total antioxidant power in some species of Labiatae (Adaptation of FRAP method). *Acta Biologica Szegediensis*, 46(3-4), 125-127. <https://doi.org/10.15835/nbha46211088>
- Tarchoun, N., Saadaoui, W., Mezghani, N., Pavli, O. I., Falleh, H., & Petropoulos, S. A. (2022). The effects of salt stress on germination, seedling growth and biochemical responses of tunisian squash (*Cucurbita maxima* Duchesne) germplasm. *Plants*, 11(6), 800. <https://doi.org/10.3390/plants11060800>
- Traye, I. D., Oli, N. M., Weng, X., Li, K., Suliman, M. S. E., Guo, X., Zhou, G., Zhu, G., & Xu, Y. (2025). Salinity tolerance in wheat: Mechanisms and breeding approaches. *Plants*, 14(11), 1641. <https://doi.org/10.3390/plants14111641>
- Velikova, V., Yordanov, I., & Edreva, A. (2000). Oxidative stress and some antioxidant systems in acid rain-treated bean plants: protective role of exogenous polyamines. *Plant Science*, 151(1), 59-6. [https://doi.org/10.1016/S0168-9452\(99\)00197-1](https://doi.org/10.1016/S0168-9452(99)00197-1)
- Wagner, G. J. (1979). Content and vacuole/extravacuole distribution of neutral sugars, free amino acids, and anthocyanin in protoplasts. *Plant Physiology*, 64(1), 88-93. doi: 10.1104/pp.64.1.88
- Wang, Y. R., Yu, L., Nan, Z. B., & Liu, Y. L. (2004). Vigor tests used to rank seed lot quality and predict field emergence in four forage species. *Crop Sciences*, 44, 535-541. <https://doi.org/10.2135/cropsci2004.5350>
- Wu, D., Chen, C., Liu, Y., Yang, L., & Yong, J. W. H. (2023). Iso-osmotic calcium nitrate and sodium chloride stresses have differential effects on growth and photosynthetic capacity in tomato. *Scientia Horticulturae*, 312, 111883. DOI: 10.1016/j.scienta.2023.111883
- Xiong, M., Xu, J., Zhou, Z., Peng, B., Shen, Y., Shen, H., Xu, X., Li, C., Deng, L., & Feng, G. (2024). Salinity inhibits seed germination and embryo growth by reducing starch mobilization efficiency in barley. *Plant Direct*, 8(2), e564. doi: 10.1002/pld3.564

The effect of different treatments of silica, nanosilica, and essential elements on improving germination and growth of wheat seedlings under salt stress

Omolbanin Jahantigh

Plant Biology Department, Faculty of Science, Behbahan Khatam Alanbia University of Technology, Khuzestan, Iran

Abstract

Wheat is a strategic crop worldwide. According to the daily increasing of salinity stress in agricultural lands, the application of safe, environmentally friendly methods and nanotechnology in cropping science is critical, so in the present study the effect of silicon, nanosilicon and essential elements treatments was investigated on amelioration of the harmful effects of salinity stress on wheat. In the present study, the effect of distilled water (control), silica (100 ppm), nanosilica (500 ppm) and essential elements (100 ppm) treatments on wheat seeds under salinity stress accompanied by 0 (distilled water) and 100 mM sodium chloride was investigated in petri dishes in a randomized block design. The results showed that salinity stress reduced wheat seed germination through reducing alpha-amylase activity, increasing starch content and no changes in the amount of soluble sugars available to seed embryo. Silicon, nanosilicon and essential elements treatments increased alpha-amylase activity, hydrolysis of starch to soluble sugars and consequently increased seed germination. Salinity stress reduced seedling growth, while different treatments improved the growth of salinity-stressed seedlings. Salinity stress damaged photosynthetic pigments, reduced carbohydrates production, reduced proteins and induced membrane lipids peroxidation through increasing H₂O₂ production and reduction of catalase activity. Silicon, nanosilicon and essential elements treatments reduced H₂O₂ accumulation through increasing the non-enzymatic antioxidants (phenols, anthocyanins, flavonoids, carotenoids and proline) and enzymatic antioxidants (catalase), and total antioxidant capacity (FRAP), followed by an increase in chlorophylls a and b, water soluble carbohydrates, proteins, and reduced membrane lipid peroxidation in salinity-stressed wheat seeds. According to the reduction of H₂O₂ and inhibition of membrane lipid peroxidation, and an increase in germination and growth, it can be concluded that the treatments reduced the adverse effects of stress on wheat and improved the physiological mechanisms in the plant, while nanosilicon was the most effective treatment.

Keywords: Antioxidants, Germination Process, Membrane Lipid Peroxidation, Nanosilica, Wheat

Received: Jul. 24, 2025; Revised: Sep. 16, 2025; Accepted: Oct. 29, 2025; Published Online: May. 02, 2026

*Corresponding Author: jahantigh@bkatu.ac.ir



Copyright © 2025 Iranian Society of Plant Physiology, Published by Isfahan University of Technology press. This work is licensed under a Creative Commons Attribution-Noncommercial 4.0 International license (<https://creativecommons.org/licenses/by-nc/4.0/>). Non-commercial uses of the work are permitted, provided the original work is properly cited.